

การหล่อลื่นแบบเทอร์โมอิลาสโตไฮดรอไดนามิกที่สัมผัสเป็นเส้นตรง ในโรลเลอร์ที่เป็นวัสดุอ่อน

Thermoelastohydrodynamic Lubrication under Line Contact for the Soft Material Roller

กฤษณะ มีมาก¹ และ มงคล มงคลวงศ์โรจน์²

ภาควิชาวิศวกรรมเครื่องกล คณะวิศวกรรมศาสตร์ สำนักวิจัยการสืบสานและเทคโนโลยีสารสนเทศ

สถาบันเทคโนโลยีพระจอมเกล้าเจ้าคุณทหารลาดกระบัง กรุงเทพฯ 10520

โทร 0-2326-4197 โทรสาร 0-2326-4198 E-mail: krit3000@gmail.com¹, kmmongko@kmitl.ac.th²

Kritsana Memak¹ and Mongkol Mongkolwongroj²

Department of Mechanical Engineering, ReCCIT, King Mongkut's Institute of Technology Ladkrabang, Bangkok 10520

Tel: 0-2326-4197 Fax: 0-2326-4198 E-mail:krit3000@gmail.com¹, kmmongko@kmitl.ac.th²

บทคัดย่อ

การหล่อลื่นแบบเทอร์โมอิลาสโตไฮดรอไดนามิกเป็นการหล่อลื่นแบบฟลีมบาง โดยจะพิจารณาผลของอุณหภูมิและการเปลี่ยนรูปแบบยึดหยุ่นของวัสดุ ในบทความนี้ได้ทำการศึกษาพฤติกรรมการหล่อลื่นของโรลเลอร์ที่เป็นโลหะกับโรลเลอร์ที่เป็นวัสดุอ่อนที่มีการหล่อลื่นแบบเทอร์โมอิลาสโตไฮดรอไดนามิก โดยทำการศึกษาพฤติกรรมของสารหล่อลื่นที่มีพฤติกรรมเป็นของเหลวให้นิวโทเนียนในสภาพวิชาชีวะและได้ใช้วิธีไฟไนด์ฟเฟอเรนซ์และวิธีการของนิวตัน-ราฟสันในการแก้สมการเรียโนลเดอร์ประยุกต์และสมการพลังงาน โดยได้ทำการเปลี่ยนแปลงภาวะและความเร็วรอบในการทำงาน เพื่อศึกษาพฤติกรรมการกระจายของความดัน ความหนาของฟลีมสารหล่อลื่น อุณหภูมิ ความหนาแน่นและความหนืดจากการคำนวณเมื่อการเพิ่มน้ำหนักจะทำให้ความหนาฟลีมลดลง ความดันและอุณหภูมิมีค่าสูงขึ้น เมื่อความเร็วรอบในการทำงานเพิ่มขึ้น ความหนาของฟลีมและอุณหภูมิจะมีค่าเพิ่มขึ้น แต่ความดันสูงสุดจะมีค่าลดลง

Abstract

Thermoelastohydrodynamic lubrication is defined as thin film lubrication considering the elastic deformation of material under contact stress. This paper presents the theoretical characteristics of steel roller and soft roller in thermoelastohydrodynamic lubrication under line contact with Newtonian fluid in transient and steady state conditions. Finite difference and Newton Raphson method were implemented to calculate the Reynolds equation and elasticity equation numerically. The results show pressure distribution, film thickness distribution, temperature distribution, density distribution and viscosity distribution as various loads and

speeds. We found that when the load applied to the rollers increases, the film pressure increases, temperature increases but the film thickness decreases. When the speed applied to the rollers increases, the film thickness increases, temperature increases but the pressure decreases.

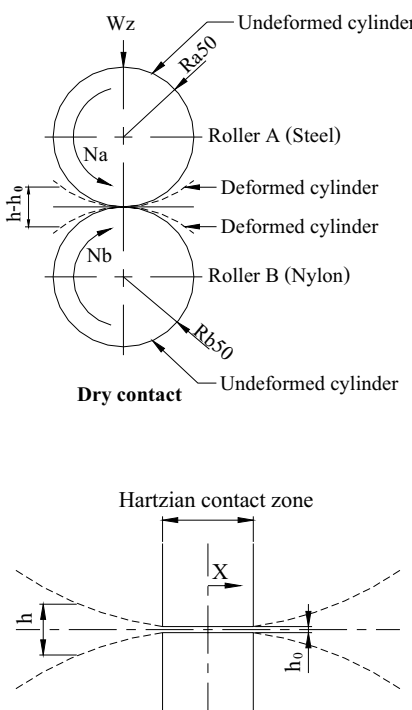
1.บทนำ

อุตสาหกรรมในปัจจุบันมีการใช้เครื่องจักรกลในการผลิตที่ค่อนข้างสูงเพื่อให้ได้การผลิตที่มีคุณภาพและใช้เวลาในการผลิตที่น้อยที่สุด และเครื่องจักรบางประเภทมีส่วนประกอบของโรลเลอร์กับโรลเลอร์ เช่น เครื่องจักรที่ใช้ในอุตสาหกรรมยานยนต์ อุตสาหกรรมอาหาร และอุตสาหกรรมการพิมพ์เป็นต้นซึ่งโรลเลอร์ที่ใช้ส่วนใหญ่จะเป็นโรลเลอร์ที่เป็นโลหะกับโลหะซึ่งถ้าโรลเลอร์แบบนี้มีการหล่อลื่นแบบเทอร์โมอิลาสโตไฮดรอไดนามิก จะเกิดความดันบริเวณผิวสัมผัสของโรลเลอร์ที่ค่อนข้างสูง ดังนั้นในงานบางประเภทที่ไม่ได้รับภาระมากนักและต้องการความยึดหยุ่นตัวที่ค่อนข้างสูงโรลเลอร์ที่เป็นโลหะกับโรลเลอร์ที่เป็นวัสดุอ่อนก็เป็นอีกทางเลือกหนึ่งในการนำมาใช้งานแต่ต้องทำการศึกษาถึงพฤติกรรมต่างๆที่เกิดขึ้นเมื่อการหล่อลื่นแบบเทอร์โมอิลาสโตไฮดรอไดนามิกเพื่อการนำไปใช้งานได้อย่างเหมาะสม เนื่องจากความหนาของฟลีมสารหล่อลื่นที่เกิดขึ้นจะบางมากซึ่งจะขึ้นอยู่กับปัจจัยต่างๆ เช่นขนาดของสาร ความเร็วรอบและชนิดของสารหล่อลื่นเป็นต้น และเนื่องจากฟลีมน้ำมันที่บางมากนั้นเองจึงทำให้ความดันที่เกิดขึ้นบริเวณผิวสัมผasmีค่าสูงและส่งผลให้โรลเลอร์เกิดการเปลี่ยนรูปแบบยึดหยุ่นในงานวิจัยนี้ได้ทำการศึกษาผลกระทบที่เกิดจาก การเปลี่ยนแปลงภาวะและความเร็วรอบในการทำงานท่านั้นโดยไม่พิจารณาผลจากความหมายของผิวโรลเลอร์และไม่พิจารณาถึงผลจากแรงเสียดทานและในการแก้สมการจะพิจารณาเป็นสภาพวิชาชีวะและ

ได้ทำการประยุกต์สมการเรย์โนล็ตและสมการพลังงานกับสภาวะการหล่อลื่นแบบเทอร์โมอิเลสโตรไ/do/dr/ไดนามิกของวัสดุทรงกระบอกที่สัมผัสเป็นเส้นตรงดังที่จะแสดงในหัวข้อถัดไปโดยในการคำนวณจะทำการคำนวณแบบรีเว่นวย และ ใช้วิธีไฟนิดฟเฟอร์เรนซ์และวิธีการของนิวตัน-ราฟสันในการแก้สมการเรย์โนล็ตประยุกต์และสมการพลังงาน

2. ทฤษฎี

2.1 ลักษณะการสัมผัสนของโรลเลอร์กับโรลเลอร์



รูปที่1. แสดงลักษณะการสัมผักระหว่างโรลเลอร์กับโรลเลอร์

จากรูปที่1. แสดงลักษณะการสัมผักระหว่างโรลเลอร์กับโรลเลอร์ในลักษณะ Dry contact และ Lubricated contact โดยได้แสดงถึงการเสียรูปแบบบีดหยุ่นไว้ในส่วนประดั้งรูป ค่า equivalent roller สามารถคำนวณได้จากสมการที่1ดังนี้

$$\frac{1}{R_X} = \frac{1}{R_a} + \frac{1}{R_b} \quad (1)$$

2.2 สมการเรย์โนล็ต

สมการเรย์โนล็ตแบบไรมิติในสภาวะชื้นช้าและ สำหรับการหล่อลื่นแบบเทอร์โมอิเลสโตรไ/do/dr/ไดนามิกแบบสัมผัสนเชิงเส้นคือ

$$\frac{\partial}{\partial \bar{X}} \left(\bar{\varepsilon} \frac{\partial \bar{P}}{\partial \bar{X}} \right) = K \frac{\partial}{\partial \bar{X}} (\bar{\rho} \bar{h}) + K \frac{\partial}{\partial t} (\bar{\rho} \bar{h}) \quad (2)$$

$$\text{เมื่อ } K = \frac{12\bar{u}\eta_0 R_X^2}{b^3 P_H} \quad (3)$$

$$\bar{\varepsilon} = \frac{\bar{\rho} \bar{h}^3}{\bar{\eta}} \quad (4)$$

โดยมีเงื่อนไขของดังนี้

$$\bar{X} = \bar{X}_{inlet}; \bar{P} = 0$$

$$\bar{X} = \bar{X}_{outlet}; \bar{P} = \frac{d\bar{P}}{d\bar{X}} = 0 \quad (5)$$

2.3 สมการพลังงาน

เมื่อโรลเลอร์หมุนจะเกิดความร้อนขึ้น พลังงานความร้อนที่เกิดขึ้นจะเป็นผลมาจากการอัดตัวของสารหล่อลื่น และความเค้นเฉือนที่เกิดขึ้นในพิล์มของสารหล่อลื่นสมการพลังงานในรูปแบบรีมิติเมื่อการสัมผัสนเป็นแบบสัมผัสนเชิงเส้น

$$\frac{\partial^2 \bar{\theta}}{\partial \bar{Y}^2} = K_{T1} \left(\frac{\bar{\rho} \bar{h}^2}{k_p} \right) \left(\frac{\partial \bar{\theta}}{\partial t} + U \frac{\partial \bar{\theta}}{\partial \bar{X}} \right) - K_{T2} \left(\frac{\bar{\eta}}{k_p} \right) \left[\frac{\partial U}{\partial \bar{Y}} \right]^2 - K_{T3} \left(\frac{\bar{\theta} \bar{h}^2}{k_p} \right) \left(\frac{\partial \bar{P}}{\partial t} + U \frac{\partial \bar{P}}{\partial \bar{X}} \right) \quad (6)$$

$$\text{เมื่อ } K_{T1} = \left(\frac{\bar{u} \rho_0 C_p b^3}{k_0 R_X^2} \right) \quad (7)$$

$$K_{T2} = \left(\frac{\eta_0 \bar{u}^2}{k_0 T_0} \right) \quad (8)$$

$$K_{T3} = \left(\frac{\beta \bar{u} b^3 P_H}{k_0 R_X^2} \right) \quad (9)$$

$$\bar{k}_p = 1 + \frac{1.73 \times 10^{-9} P_H \bar{P}}{1 + 6.91 \times 10^{-10} P_H \bar{P}} \quad (10)$$

สำหรับสมการพลังงานเงื่อนไขของที่ทราบคือ อุณหภูมิที่ทางเข้าชึ้นในที่นี้กำหนดให้เท่ากับอุณหภูมิของสารหล่อลื่นส่วนอุณหภูมิทางออกไม่ทราบค่าดังนั้นเงื่อนไขของทางเข้าคือ

$$\bar{\theta}_{IN} = 1 \quad (11)$$

โดยมีเงื่อนไขของที่ผิวโรลเลอร์สำหรับสมการพลังงานคือ

$$y = 0 \quad ; \bar{\theta} = \bar{\theta}_B(\bar{X}, 0) \\ y = h \quad ; \bar{\theta} = \bar{\theta}_A(\bar{X}, H) \quad (12)$$

สมการอุณหภูมิที่ผิวสัมผัสนของทั้งสองด้านแบบรีมิติหาได้ดังนี้[6]

$$\bar{\theta}_B(\bar{X}, 0) = 1 + D_1 \int_{\bar{X}_{IN}}^{\bar{X}_i} \left(\frac{\bar{k}_{P,i}}{h_i} \right) \left(\frac{\partial \bar{\theta}}{\partial \bar{Y}} \right) \Big|_{\bar{Y}=0} \frac{d\bar{X}'}{\sqrt{\bar{X}_i - \bar{X}'}} \\ D_1 = \frac{k_0 R_X}{\sqrt{\pi \rho_B C_{P,B} k_B b^3 \bar{u} \left(1 - \frac{S}{2} \right)}} \quad (13)$$

$$\bar{\theta}_A(\bar{X}, H) = 1 - D_2 \int_{\bar{X}_{IN}}^{\bar{X}_i} \left(\frac{\bar{k}_{P,i}}{h_i} \right) \left(\frac{\partial \bar{\theta}}{\partial \bar{Y}} \right) \Big|_{\bar{Y}=1} \frac{d\bar{X}'}{\sqrt{\bar{X}_i - \bar{X}'}} \\ D_2 = \frac{k_0 R_X}{\sqrt{\pi \rho_A C_{P,A} k_A b^3 \bar{u} \left(1 + \frac{S}{2} \right)}} \quad (14)$$

2.4 สมการความหนาของฟิล์มสารหล่อลีน

ในที่นี้ไม่ได้พิจารณาผลที่เกิดขึ้นจากความหมายของผิวโรลเลอร์ สมการความหนาของฟิล์มสารหล่อลีนแบบไรมิติได้รวมผลจากการเปลี่ยนรูปแบบบีดหยุ่นแบบไรมิติ ซึ่งเป็นพังก์ชั่นของแรงดันดังนี้คือ

$$\bar{h} = \bar{h}_0 + \frac{\bar{X}^2}{2} - \frac{1}{\pi} \int_{\bar{X}_{in}}^{\bar{X}_{out}} \bar{P}(\bar{X}, \bar{t}) \ln |\bar{X} - \bar{X}'| d\bar{X}' \quad (15)$$

2.5 สมการความหนืดของสารหล่อลีน

สมการความหนืดแบบไรมิติ จะมีผลเปลี่ยนแปลงตามแรงดันและอุณหภูมิที่ฟิล์มสารหล่อลีนได้รับดังนี้

$$\bar{\eta} = \exp \left[\ln \eta_0 + 9.61 \right] \left[-1 + \left(1 + 5.1 \times 10^{-9} P_H \bar{P}_i \right)^{Z_i} \right] - \gamma T_0 (\bar{\theta} - 1) \quad (16)$$

2.6 สมการความหนาแน่นของสารหล่อลีน

สมการความหนาแน่นของสารหล่อลีนแบบไรมิติ จะขึ้นอยู่กับความดันและอุณหภูมิที่เกิดขึ้นที่ฟิล์มสารหล่อลีนได้รับดังนี้[5]

$$\bar{\rho}_i = \left(1 + \frac{0.6 \times 10^{-9} P_H \bar{P}_i}{1 + 1.7 \times 10^{-9} P_H \bar{P}_i} \right) [1 - \beta T_0 (\bar{\theta} - 1)] \quad (17)$$

2.7 สมการโหลดมาลาชนช

เนื่องจากค่าแรงดันที่คำนวณได้จากการเรย์โนลด์จะต้องตรวจสอบด้วยการเทียบกับภาระที่กระทำให้อุณหภูมิของฟิล์มของสารหล่อลีนดังนั้น สมการโหลดมาลาชนชแบบไรมิติคือ

$$\int_{X_{min}}^{X_{max}} \bar{P} d\bar{X} = \frac{\pi}{2} \quad (18)$$

3. เสื่อนในการคำนวณ

ในการศึกษาการหล่อลีนแบบเทอร์โมอิเล็กสโตได้โดยไดนามิกในที่นี้ ได้ใช้สารหล่อลีนเป็นน้ำมันปาล์มบริสุทธิ์ซึ่งมีคุณสมบัติต่างๆดังนี้

-ค่าความหนืดสัมบูรณ์ $\eta_0 = 0.037628 \text{ Pa.s}$

-ค่าดัชนีแรงดัน - ความหนืด $Z_i = 0.38378$

-ค่าความหนาแน่น $\rho_0 = 820 \text{ kg/m}^3$

-อุณหภูมิเริ่มต้นของสารหล่อลีน $T_0 = 313.15 \text{ K}$

-ค่าความร้อนจำเพาะของสารหล่อลีน $C_p = 2038 \text{ J/kg K}$

และได้ทำการศึกษาถูกต้องรูปแบบการหล่อลีนของโรลเลอร์ที่เป็นโลหะกับโรลเลอร์ที่เป็นวัสดุอ่อนที่มีคุณสมบัติตามตารางที่ 1 และกำหนดให้อัตราการเลื่อนไถลระหว่างโรลเลอร์เท่ากับ 0.333 โดยในการคำนวณได้ทำการเปลี่ยนแปลงภาระที่โรลเลอร์ได้รับที่ 5,000, 7,500 และ 10,000 N/m. เมื่อความเร็วของโรลเลอร์ที่โดยกำหนดให้ความเร็วของโรลเลอร์ที่เป็นโลหะเท่ากับ 250 รอบต่อนาที และโรลเลอร์ที่เป็นวัสดุอ่อนเท่ากับ 350 รอบต่อนาทีและได้ทำการเปลี่ยนแปลงความเร็วของโรลเลอร์ที่ได้รับโดยกำหนดให้ภาระที่โรลเลอร์ได้รับคงที่เท่ากับ 10,000 N/m. โดยให้ความเร็วของโรลเลอร์ที่เป็นโลหะเท่ากับ 250, 350 และ 450 รอบต่อนาที และโรลเลอร์ที่เป็นวัสดุอ่อนเท่ากับ 350, 450 และ 550 รอบต่อนาที ตามลำดับโดยในการคำนวณได้กำหนดการแบ่งจำนวน Node ใน การคำนวณเท่ากับ 500 Node, และแบ่ง Step ในการคำนวณ transient

condition เท่ากับ 20 step โดยมี $\Delta t = 0.1 \text{ ms.}$, $X_{in} = -3.0 \text{ mm.}$, $X_{out} = 1.0 \text{ mm.}$

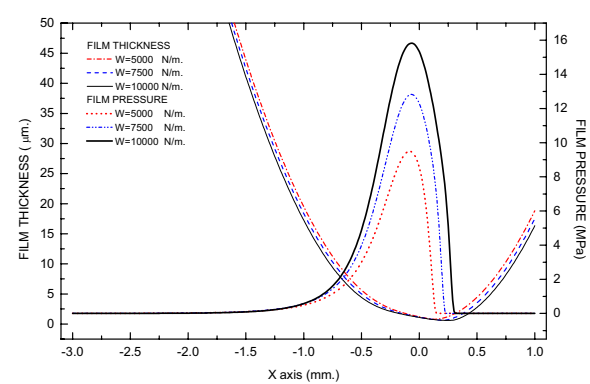
ตารางที่ 1 แสดงคุณสมบัติของโรลเลอร์

PROPERTY	ROLLER A	ROLLER B
MATERIAL	AISI-4340	NYLON
RADIAL	50 mm.	50 mm.
DENSITY	7850 Kg/m^3	1130 Kg/m^3
POISON RATION	0.3	0.46
ELASTIC MODULUS	$2.19 \times 10^{11} \text{ Pa.}$	$2.185 \times 10^9 \text{ Pa.}$
THERMAL CONDUCTIVITY	50.2 W/(m-K)	0.26 W/(m-K)
SPECIFIC HEAT	475 J/(kg-K)	2255.8 J/(kg-K)

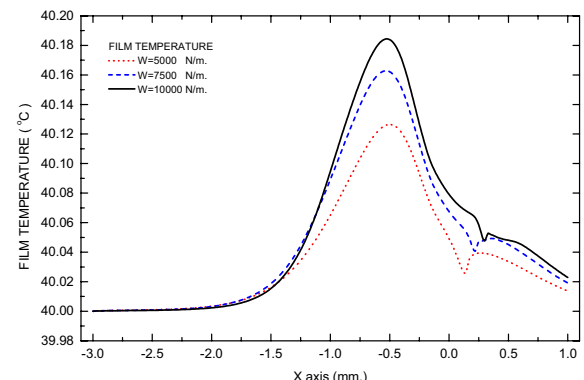
4. ผลการคำนวณ

4.1 ผลจากการเปลี่ยนแปลงภาระที่โรลเลอร์ได้รับ

ในการคำนวณได้ทำการเปลี่ยนแปลงภาระที่โรลเลอร์ได้รับที่ 5,000, 7,500 และ 10,000 N/m. โดยให้อัตราการเลื่อนไถล (Slip ratio) เท่ากับ 0.333 กำหนดให้ความเร็วขององค์ที่โดยให้ความเร็วของโรลเลอร์ที่เป็นโลหะเท่ากับ 250 RPM. และโรลเลอร์ที่เป็นวัสดุอ่อนเท่ากับ 350 RPM. ผลที่ได้จากการคำนวณได้แสดงเป็นกราฟเพื่อแสดงผลจากพฤติกรรมการกระจายของความดัน ความหนาของฟิล์มสารหล่อลีน อุณหภูมิของฟิล์มสารหล่อลีน ความหนาแน่นของฟิล์มสารหล่อลีน และความหนืดของฟิล์มสารหล่อลีน

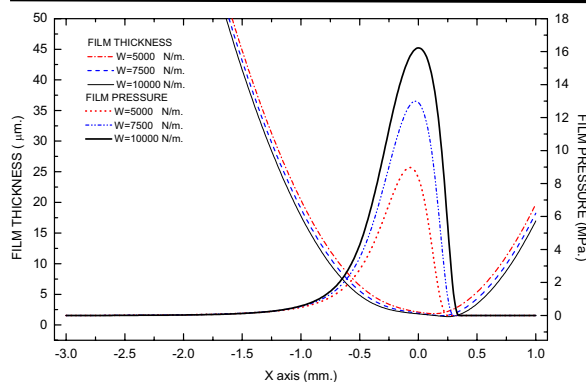


รูปที่ 2. กราฟแสดงความหนาฟิล์มและความดันที่เวลาไรมิติ 1

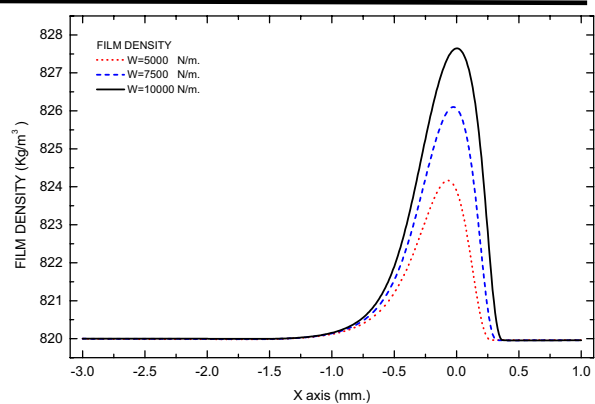


รูปที่ 3. กราฟแสดงอุณหภูมิที่เวลาไรมิติ 1

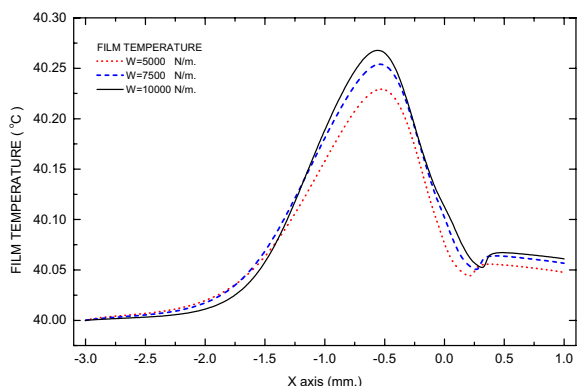
AMM055



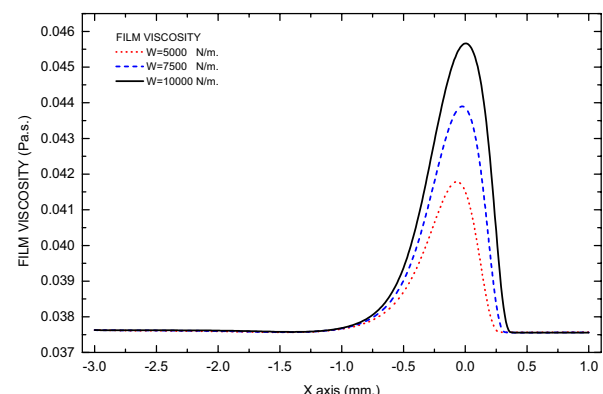
รูปที่4. กราฟแสดงความหนาฟิล์มและความดันที่เวลาไร้เม็ด



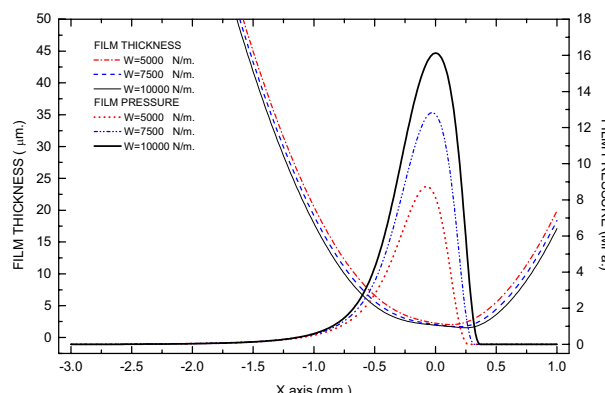
รูปที่8. กราฟแสดงความหนาแน่นที่สภาวะสมดุล



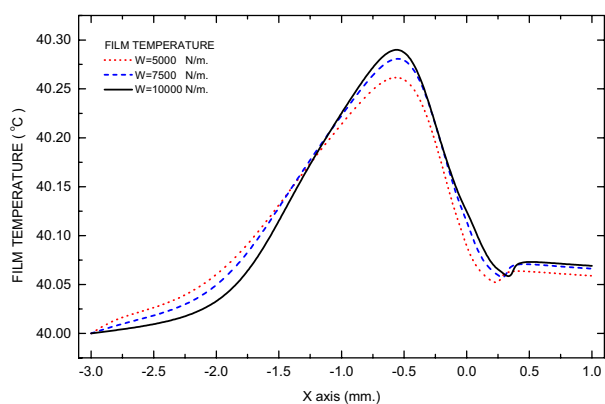
รูปที่5. กราฟแสดงอุณหภูมิที่เวลาไร้เม็ด



รูปที่9. กราฟแสดงความหนืดที่สภาวะสมดุล



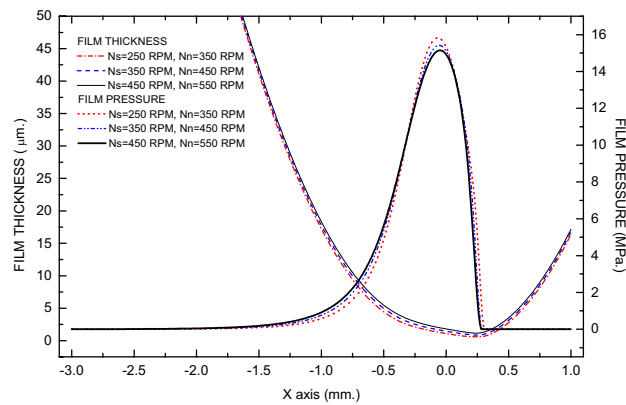
รูปที่6. กราฟแสดงความหนาฟิล์มและความดันที่สภาวะสมดุล



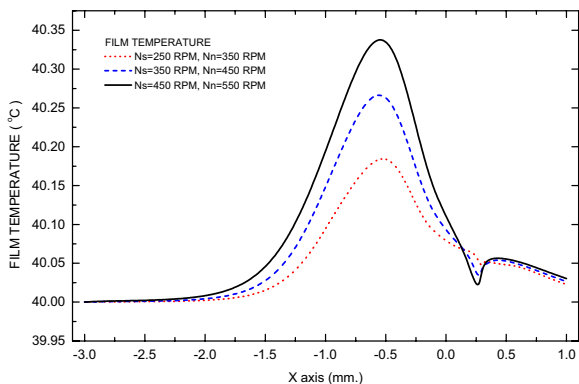
รูปที่7. กราฟแสดงอุณหภูมิที่สภาวะสมดุล

4.2 ผลจากการเปลี่ยนแปลงความเร็วรอบของโรลเลอร์

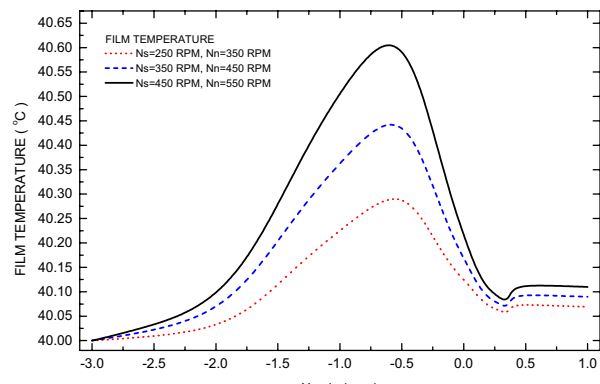
ในการคำนวนได้ทำการเปลี่ยนแปลงความเร็วรอบของโรลเลอร์ได้รับ โดยให้ความเร็วรอบของโรลเลอร์ที่เป็นโอล่าห์เท่ากับ 250,350 และ 450 RPM. และโรลเลอร์ที่เป็นวัสดุอ่อนเท่ากับ 350,450 และ 550 RPM. ตามลำดับโดยกำหนดให้ภาระที่โรลเลอร์ได้รับคงที่เท่ากับ 10,000 N/m และให้อัตราการลื่นไถล (Slip ratio) เท่ากับ 0.333 ผลที่ได้จากการคำนวนได้แสดงเป็นกราฟเพื่อแสดงผลจากพหุตัวแปรของการกระจายของความดัน ความหนาของฟิล์มสารหล่อลื่น อุณหภูมิของฟิล์มสารหล่อลื่น ความหนาแน่นของฟิล์มสารหล่อลื่นและความหนืดของฟิล์มสารหล่อลื่น



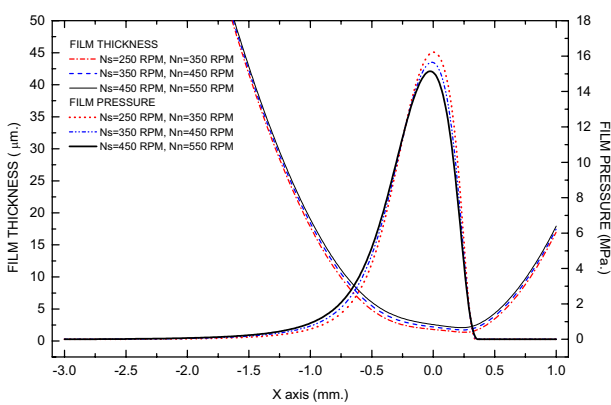
รูปที่10. กราฟแสดงความหนาฟิล์มและความดันที่เวลาไร้เม็ด1



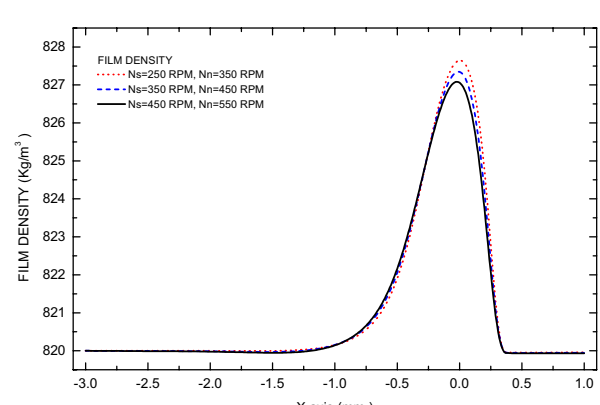
รูปที่ 11. กราฟแสดงอุณหภูมิที่เวลาไร้มิติ 1



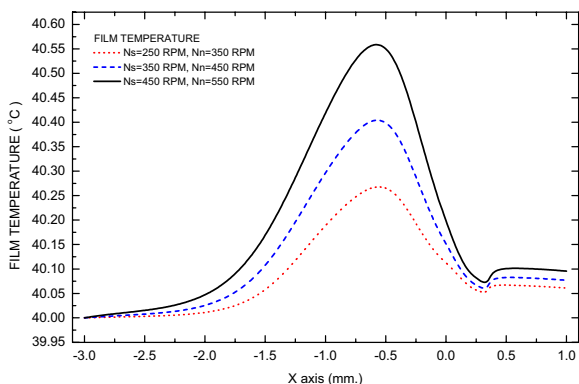
รูปที่ 15. กราฟแสดงอุณหภูมิที่สภาวะสมดุล



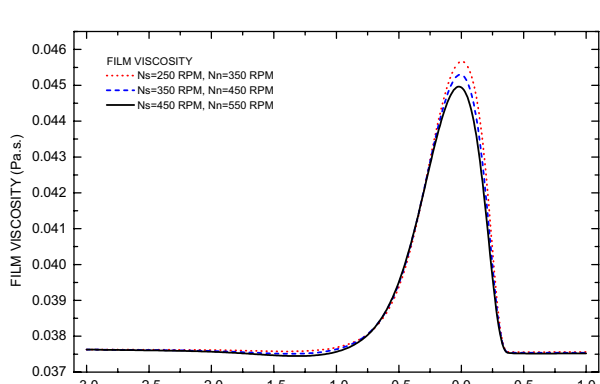
รูปที่ 12. กราฟแสดงความหนาฟิล์มและความดันที่เวลาไร้มิติ 5



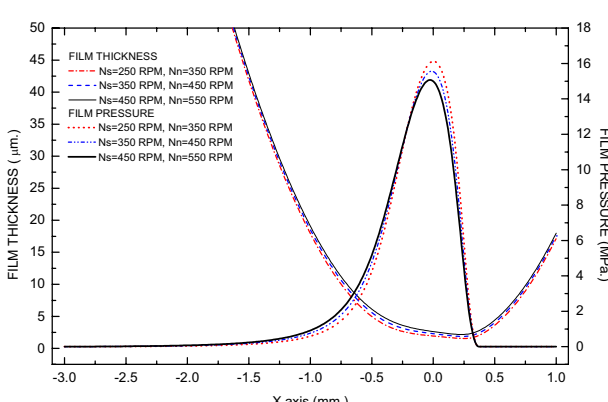
รูปที่ 16. กราฟแสดงความหนาแน่นที่สภาวะสมดุล



รูปที่ 13. กราฟแสดงอุณหภูมิที่เวลาไร้มิติ 5



รูปที่ 17. กราฟแสดงความหนืดที่สภาวะสมดุล



รูปที่ 14. กราฟแสดงความหนาฟิล์มและความดันที่สภาวะสมดุล

5. การวิเคราะห์ผลจากการคำนวณ

5.1 เมื่อการที่กระทำต่อโรลเลอร์สูงขึ้น

จากการรูปที่ 2 ถึง รูปที่ 9 พบว่าเมื่อการที่กระทำมีค่าเพิ่มขึ้น จะทำให้ความหนาฟิล์มลดลงเนื่องมาจากความดันของฟิล์มสารหล่อล็อก มีค่าเพิ่มขึ้นและผลจากความดันที่เพิ่มขึ้นยังส่งผลให้อุณหภูมิ, ความหนาแน่นและความหนืดของสารหล่อล็อกมีค่าเพิ่มขึ้น และในการคำนวณ จะใช้เวลาในการเข้าสู่จุดสมดุลน้อยลงเมื่อการมีค่าเพิ่มขึ้น

5.2 เมื่อความเร็วรอบของโรลเลอร์สูงขึ้น

จากการรูปที่ 10 ถึง รูปที่ 17 พบว่าเมื่อความเร็วที่กระทำมีค่าเพิ่มขึ้นจะทำให้ความหนาฟิล์มเพิ่มขึ้นเนื่องมาจากความดันของฟิล์ม

สารหล่อลื่นมีค่าลดลงและผลจากความดันที่ลดลงยังส่งผลให้ความหนาแน่นและความหนืดของพิล์มสารหล่อลื่นมีค่าลดลงด้วยในขณะที่อุณหภูมิจะเพิ่มขึ้นเนื่องจากมีการเสียดสีกันของพิล์มสารหล่อลื่นเพิ่มมากขึ้นและการคำนวณจะใช้เวลาในการเข้าสู่จุดสมดุลมากขึ้นเมื่อความเร็วรอบมีค่าเพิ่มขึ้น

6. บทสรุป

เมื่อการมีค่าเพิ่มขึ้น จะทำให้ความหนาพิล์มลดลง ในขณะที่ความดัน, อุณหภูมิ, ความหนาแน่น, ความหนืดของพิล์มมีค่าเพิ่มขึ้นและภาระที่เพิ่มขึ้นจะทำให้เกิดการเปลี่ยนรูปแบบบีดหยุ่นมากขึ้นสังเกตุได้จากการความหนาพิล์มที่สภาวะสมดุล

เมื่อความเร็วมีค่าเพิ่มขึ้นจะทำให้ความหนาพิล์มและอุณหภูมิมีค่าเพิ่มขึ้นในขณะที่ความดัน, ความหนาแน่น, ความหนืดของพิล์มมีค่าลดลงและความเร็วอบที่เพิ่มขึ้นจะทำให้เกิดการเปลี่ยนรูปแบบบีดหยุ่นลดลงสังเกตุได้จากการฟรiction ความหนาพิล์มที่สภาวะสมดุล

ในการคำนวณทางเชิงตัวเลขจะถูกเข้าสู่คำตอบช้าหากขนาดของโหลดที่กระทำสูงและค่าความเร็วต่ำ

7. สัญลักษณ์

E' ค่ายังโมดูลัส, Pa

\bar{h}_0 ค่าคงที่แบบไรมิติสำหรับการสัมผัสแบบเส้น

\bar{p} ค่าแรงดันแบบไรมิติ

P_H ค่าแรงดันสูงสุดของเรือร์เชียน, $P_H = E' \sqrt{W'/2\pi}$, Pa

R_X ค่ารัศมีที่สัมผัส ในทิศทางแกน X, m.

R_A ค่ารัศมีของโรลเลอร์ A, m.

R_B ค่ารัศมีของโรลเลอร์ B, m.

U ค่าความเร็วของพิล์มสารหล่อลื่นแบบไรมิติ, $U = \eta_0 \bar{u} / (E' R_X)$

\bar{u} ค่าความเร็วเฉลี่ยในแนวแกน x, $\bar{u} = (u_a + u_b) / 2$, m/s

W' ค่าโหลดแบบไรมิติสำหรับการสัมผัสแบบเส้น, $W' = w_z' / E' R_X$

w_z' ค่าโหลดที่กระทำในแนวตั้งจากต่อห่วงความกว้าง, N/m.

\bar{X} ค่าแนวแกน X แบบไรมิติของ การสัมผัสแบบสี่เหลี่ยมผืนผ้า

Z_1 ค่าดัชนีของความหนืด – แรงดัน เป็นค่าคงที่ของตัวแปรไรมิติ

\bar{h} ค่าความหนาพิล์มแบบไรมิติ

ρ_0 ค่าความหนาแน่น เมื่อ $\bar{P} = 0$, kg/m³

$\bar{\rho}$ ความหนาแน่นแบบไรมิติ, $\bar{\rho} = \rho / \rho_0$

η_0 ค่าความหนืดสัมบูรณ์ที่ $\bar{P} = 0$, Pa-s

$\bar{\eta}$ ค่าความหนืดของสารหล่อลื่นแบบไรมิติ

η ค่าความหนืดของสารหล่อลื่น, Pa-s

T_0 อุณหภูมิอ้างอิงของสารหล่อลื่น, K

T อุณหภูมิของสารหล่อลื่น, K

$\bar{\theta}$ อุณหภูมิของสารหล่อลื่นแบบไรมิติ, $\bar{\theta} = \frac{T}{T_0}$

$\bar{\theta}_A, \bar{\theta}_B$ อุณหภูมิที่ผิวโรลเลอร์ A และ B แบบไรมิติ

\bar{X} โคลอร์ดิเนต X แบบไรมิติ

\bar{Y} โคลอร์ดิเนต Y แบบไรมิติ

t เวลา, s

\bar{t} เวลาแบบไรมิติ, $\bar{t} = \bar{u}t/b$

β สัมประสิทธิ์การเปลี่ยนแปลงความหนาแน่น-อุณหภูมิ, K⁻¹

k สัมประสิทธิ์การนำความร้อนของสารหล่อลื่น, W/(m-K)

k_0 สัมประสิทธิ์การนำความร้อนของสารหล่อลื่นที่ความดันบรรยายกาศ, W/(m-K)

\bar{k}_p สัมประสิทธิ์การนำความร้อนของสารหล่อลื่นแบบไรมิติ

$$\cdot \bar{k}_p = k/k_0$$

C_p ค่าความร้อนจำเพาะของสารหล่อลื่น, J/(kg-K)

S อัตราการเลื่อนไถล, $S = (u_a - u_b) / \bar{u}$

b ความกว้างครึ่งหนึ่งของความยาวในช่วงสำคัญ,

$$b = R_x \sqrt{8W'/\pi}, \text{m}$$

γ สัมประสิทธิ์การเปลี่ยนแปลงความหนืด-อุณหภูมิ, K⁻¹

u_a ความเร็วที่ผิวของโรลเลอร์ A, m/s

u_b ความเร็วที่ผิวของโรลเลอร์ B, m/s

N_s ความเร็วรอบของโรลเลอร์ที่เป็นโลหะ, rpm.

N_n ความเร็วรอบของโรลเลอร์ที่เป็นไนล่อน, rpm.

เอกสารอ้างอิง

- [1] H. Okamura, 1982 , "A Contribution to the Numerical Analysis of Isothermal Elastohydrodynamic Lubrication", Tribology of Reciprocating Engines. D.Dowson et al. (eds) Butterworths, Guilford, England, pp 313-320
- [2] Bernard J. Hamrock and Jacobson, B.O., 1984, "Elastohydrodynamic Lubrication of Line Contacts". ASLE Trans., vol. 24, no.4, pp.275-287
- [3] Crook, A.W., 1961 , "Elasto-hydrodynamic Lubrication of Roller", Nature, vol.190, p.1182
- [4] Dowson,D.,and Higginson,G.R. , 1966 , Elastohydrodynamic Lubrication:The Fundamental of Roller and Gear Lubrication. , Pergamon , Oxford
- [5] Roelands,C.J.A. , 1969 , Correlational Aspects of the Viscosity-Temperature-Pressure Relationship of Lubricating Oils. , Druk , V.R.B. , Groingen , Netherland
- [6] D.Y. Hua, M.H. Khonsari ,1996, Elastohydrodynamic Lubrication by Powder Slurries , Journal of Tribology Vol. 118 , pp 68-73
- [7] Bernard J. Hamrock , 1994 , Fundamental of fluid film lubrication , McGraw-Hill , Singapore